

000000000000000000000000

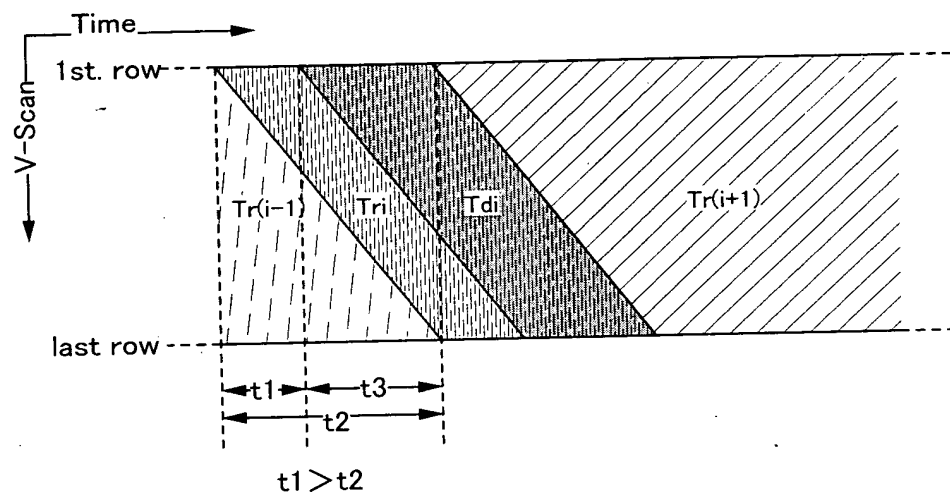


Fig. 1

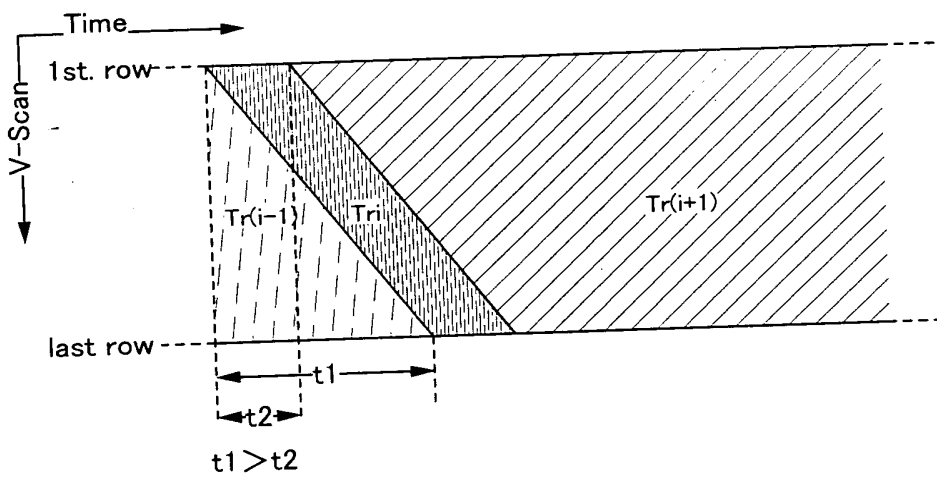


Fig. 2

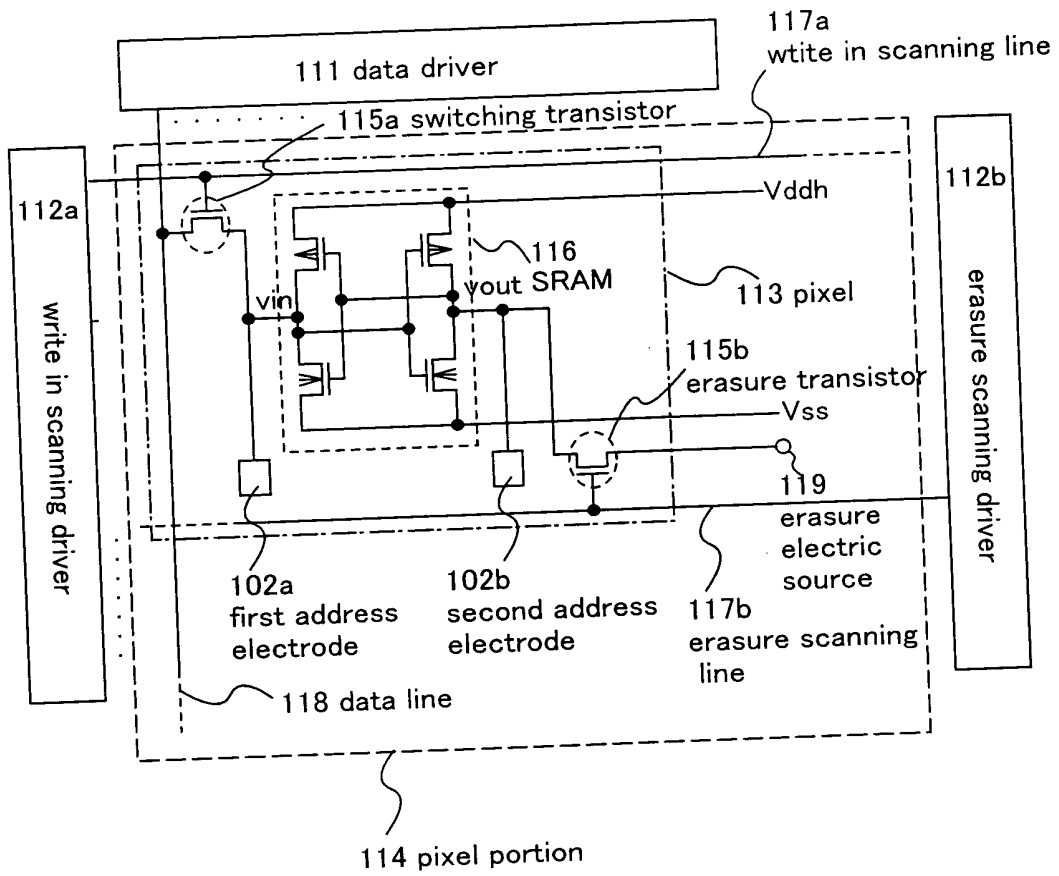


Fig. 3

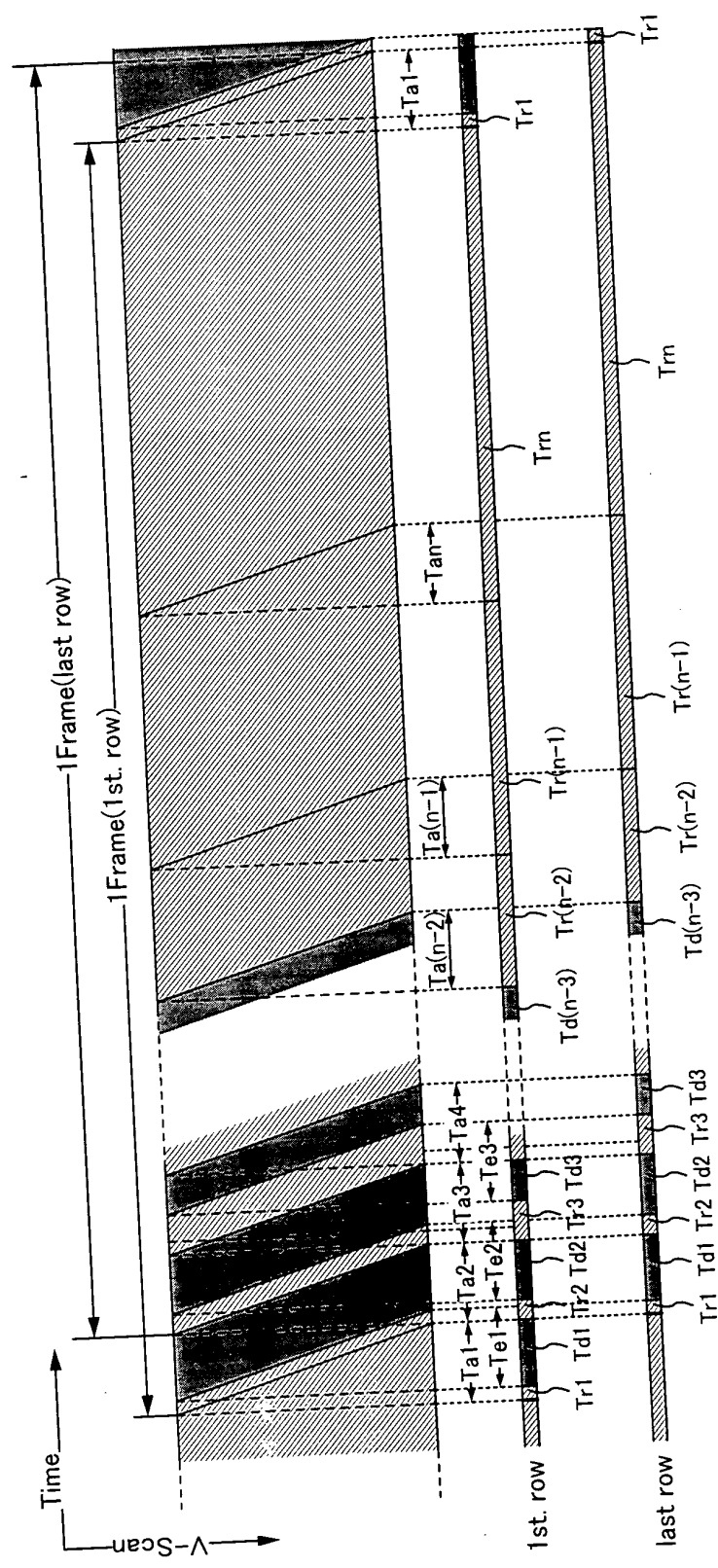


Fig. 4

09363333 0931100

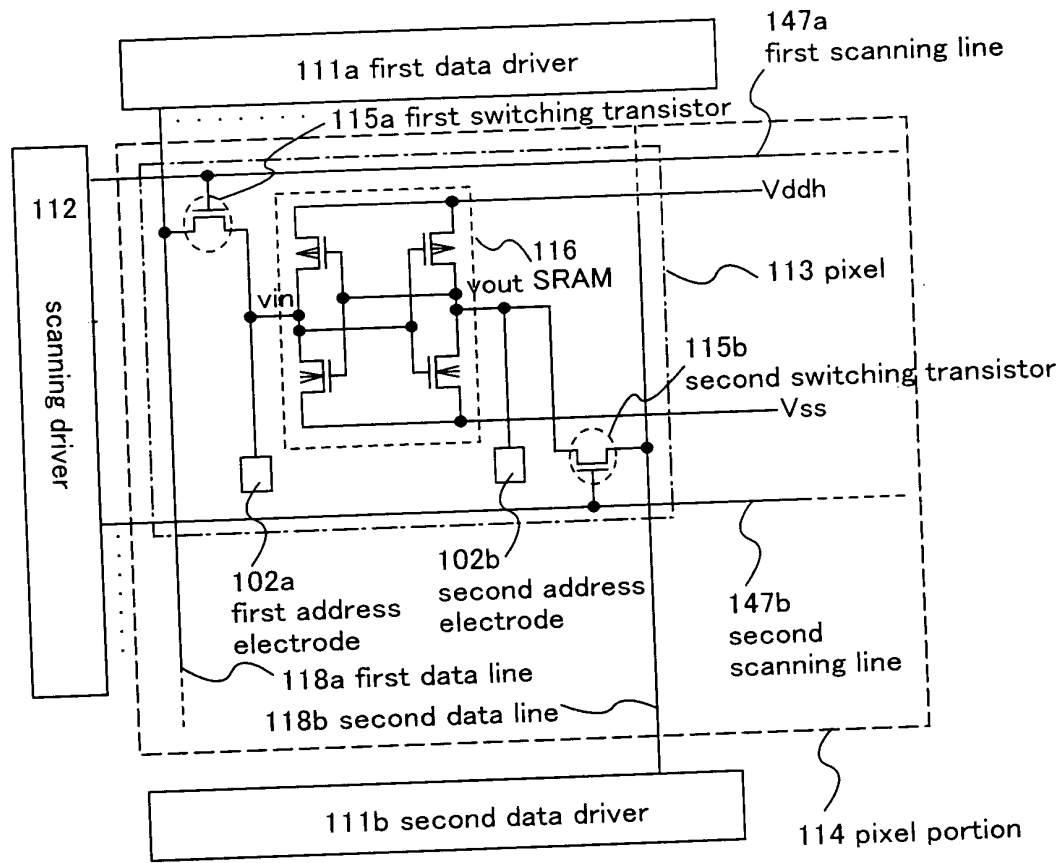


Fig. 5

Time ↑
↓ V-Scan

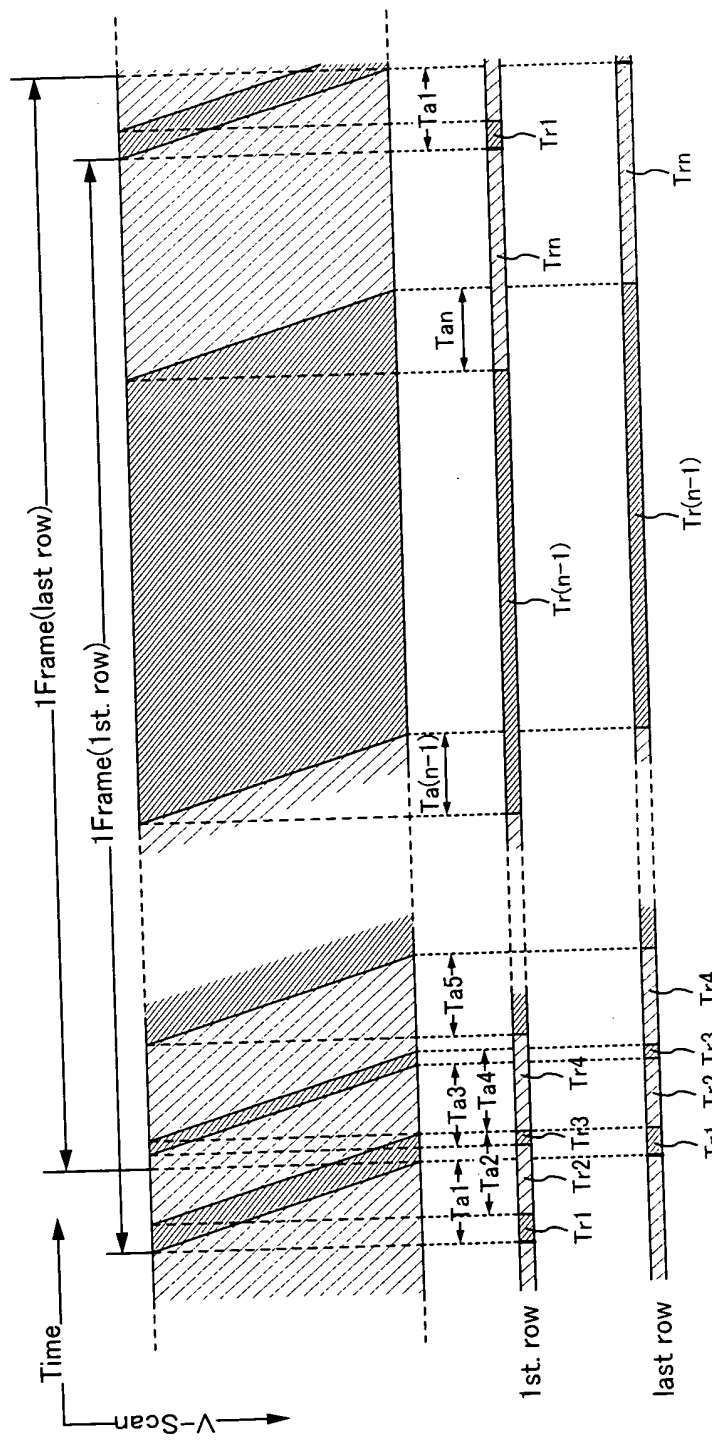


Fig. 6

Fig 7A

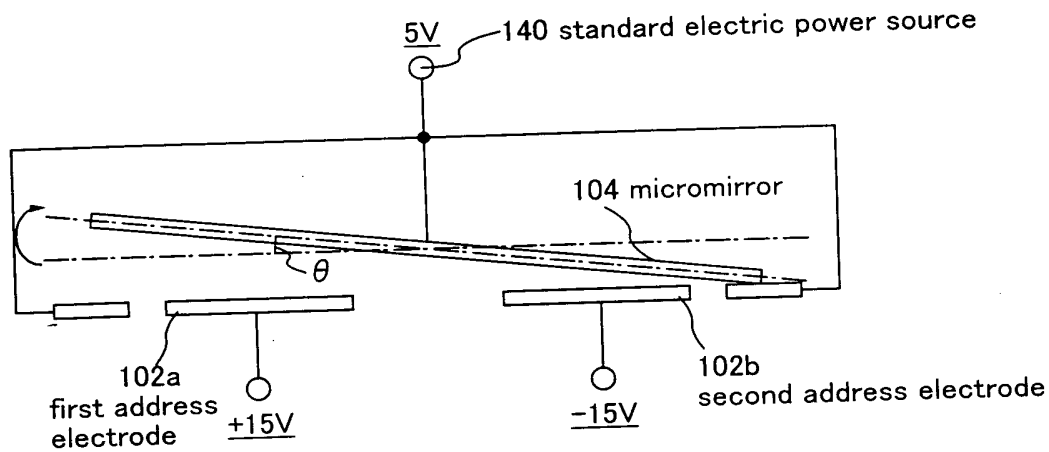
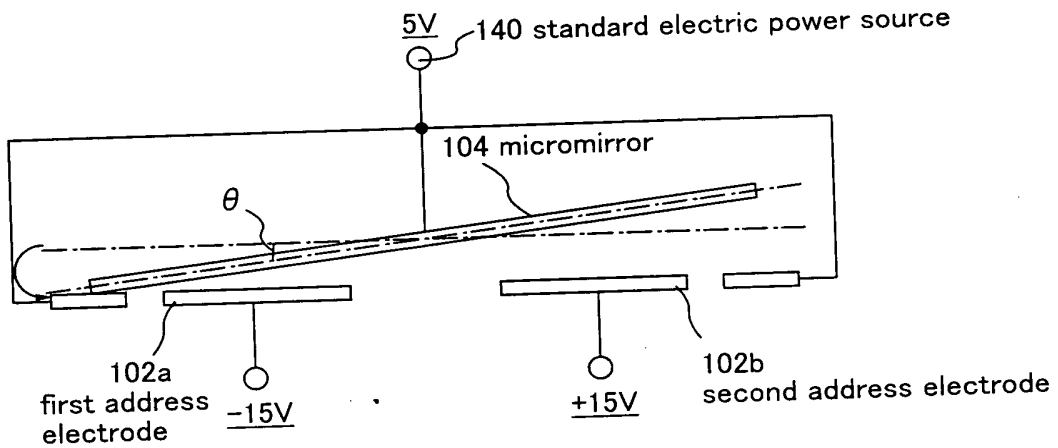


Fig 7B



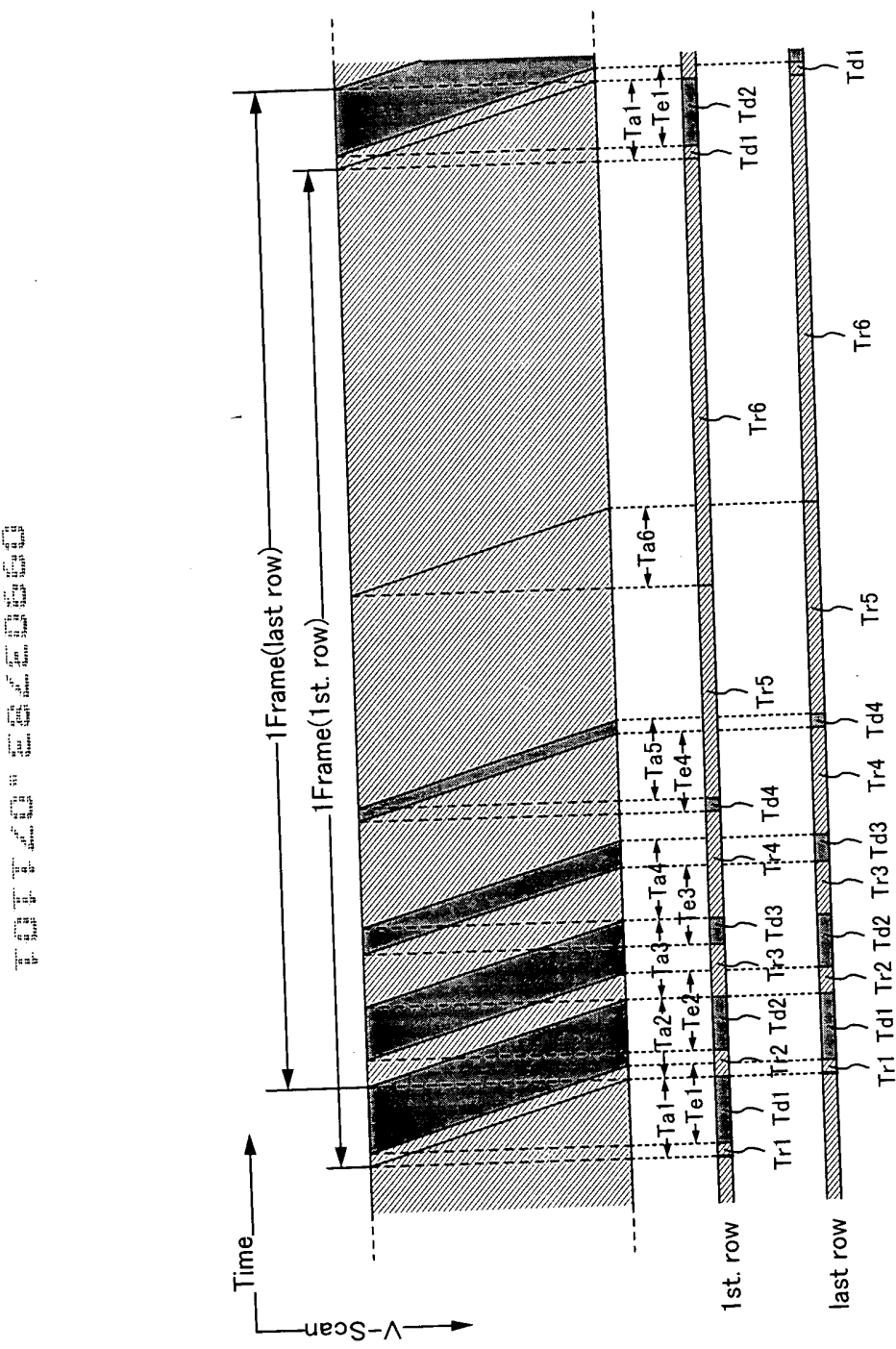


Fig. 8

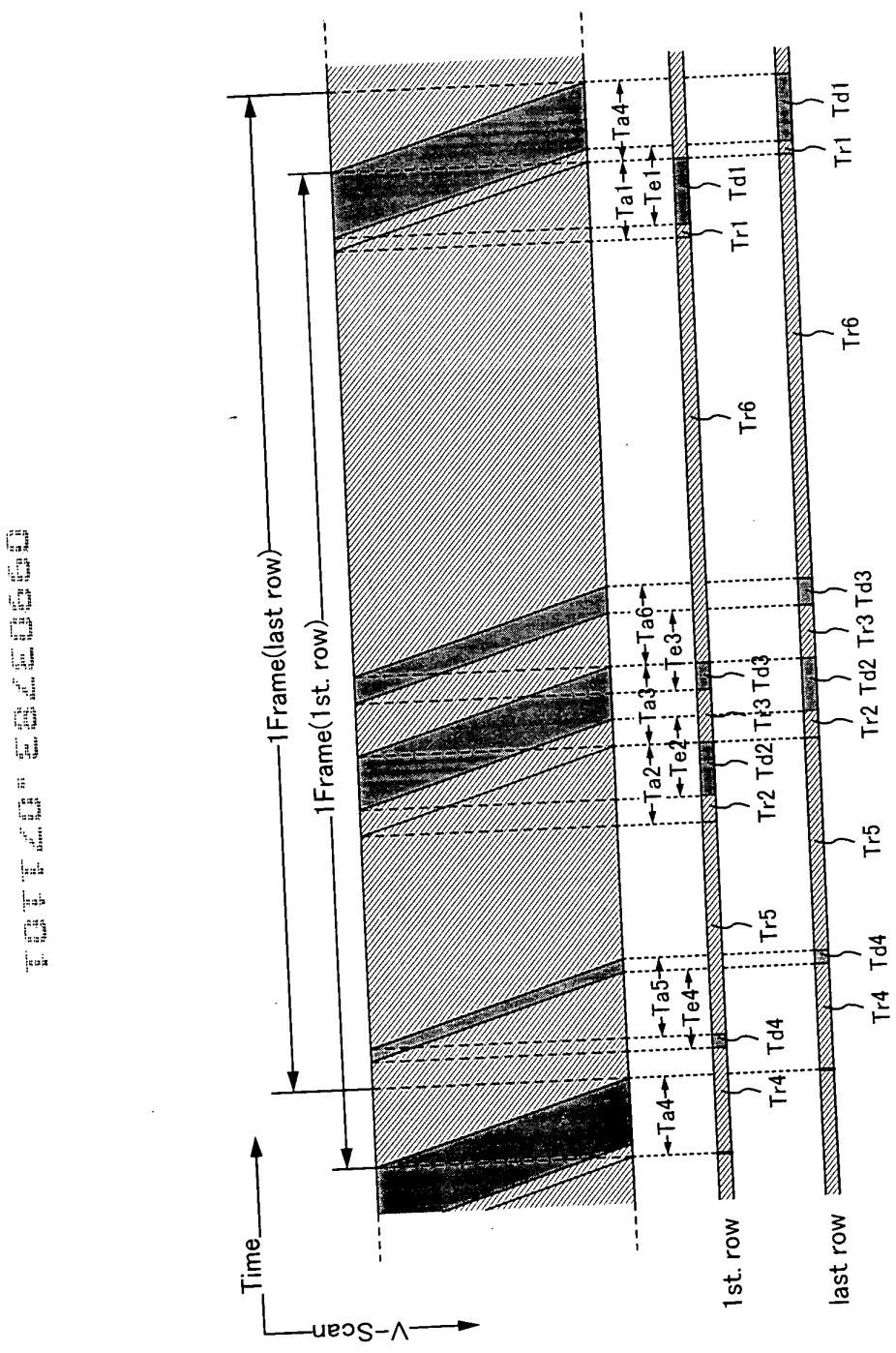


Fig 9

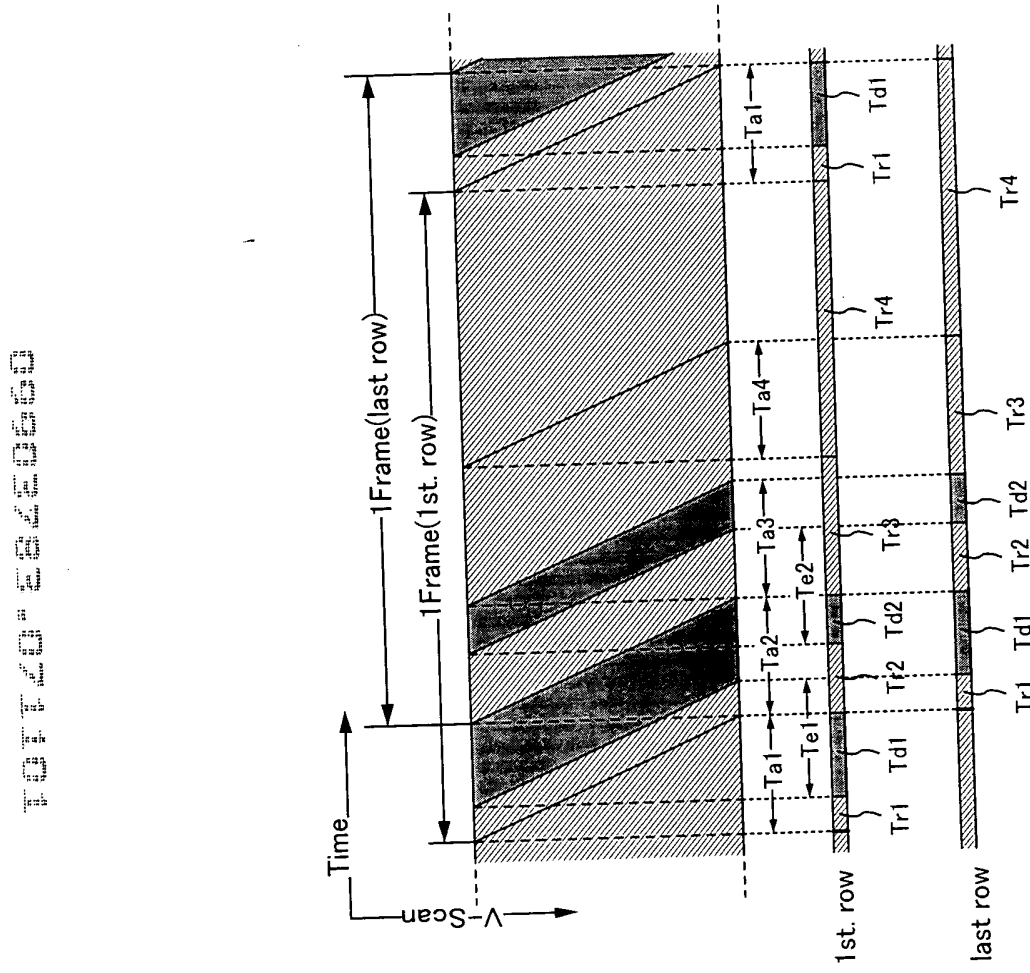


Fig. 10

Time ↑
↓ V-Scan

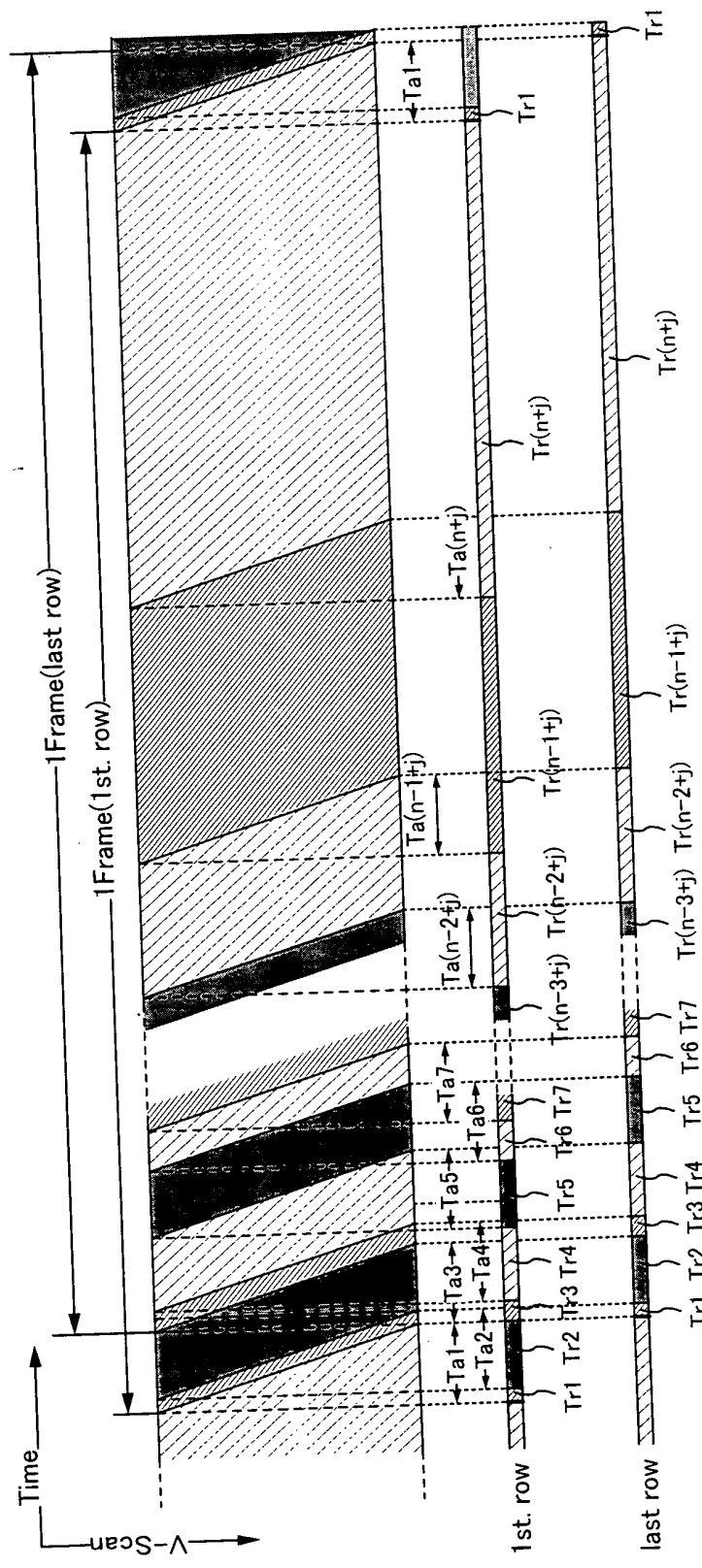


Fig. 11

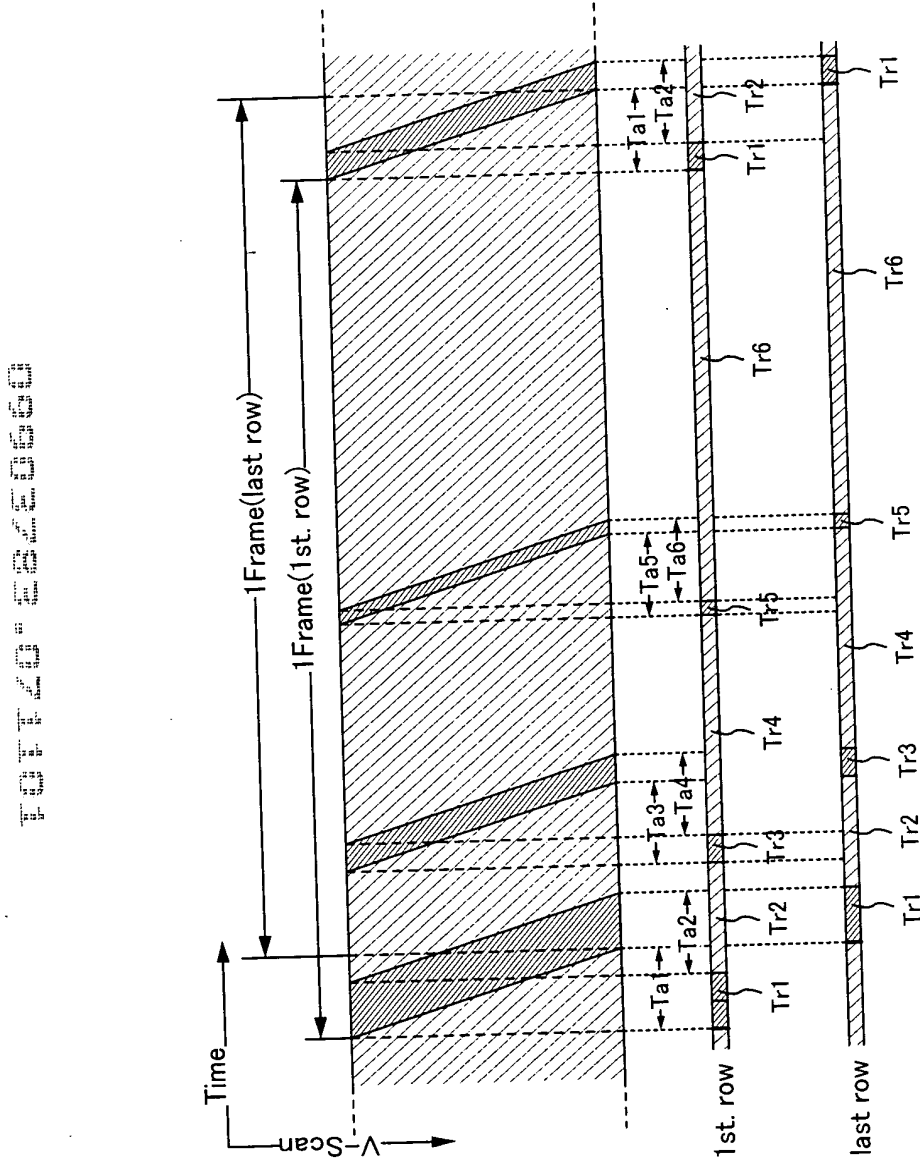


Fig. 12

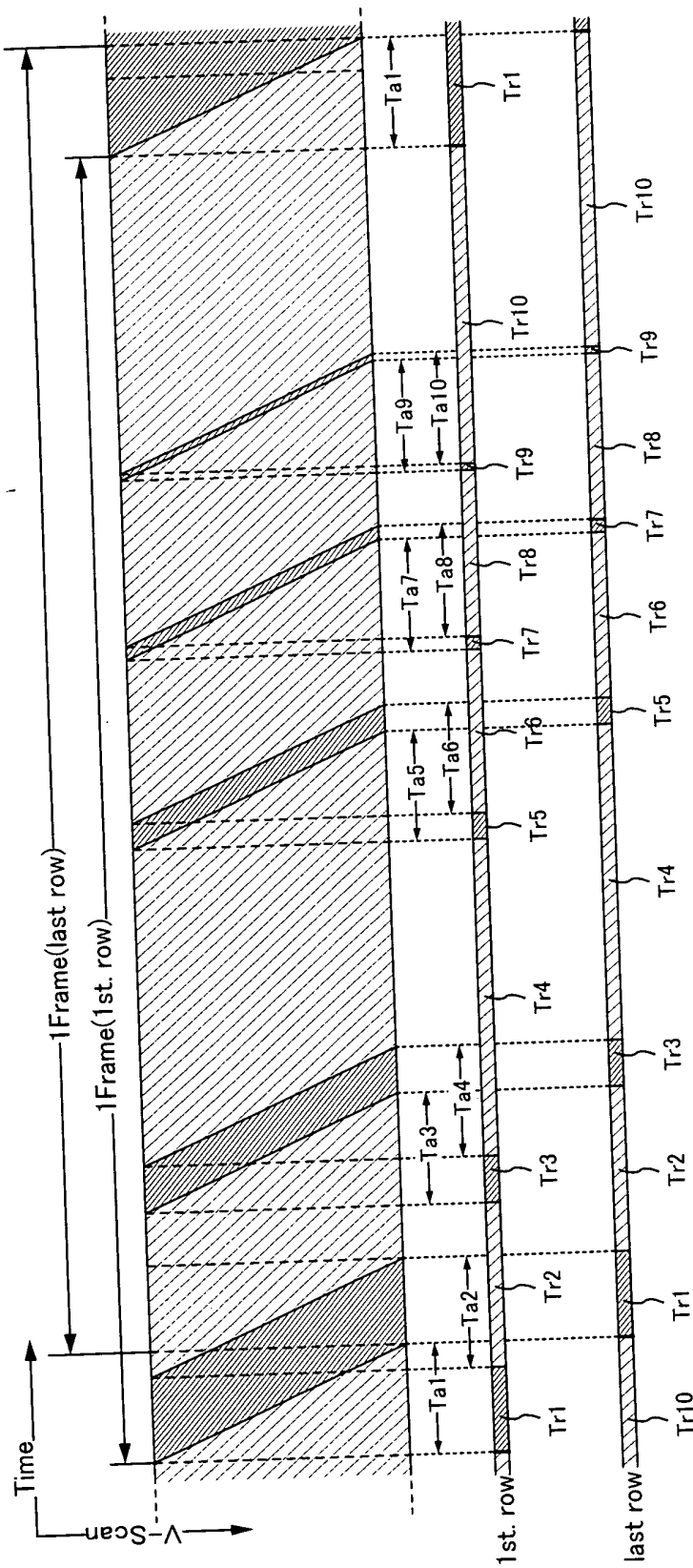


Fig. 13

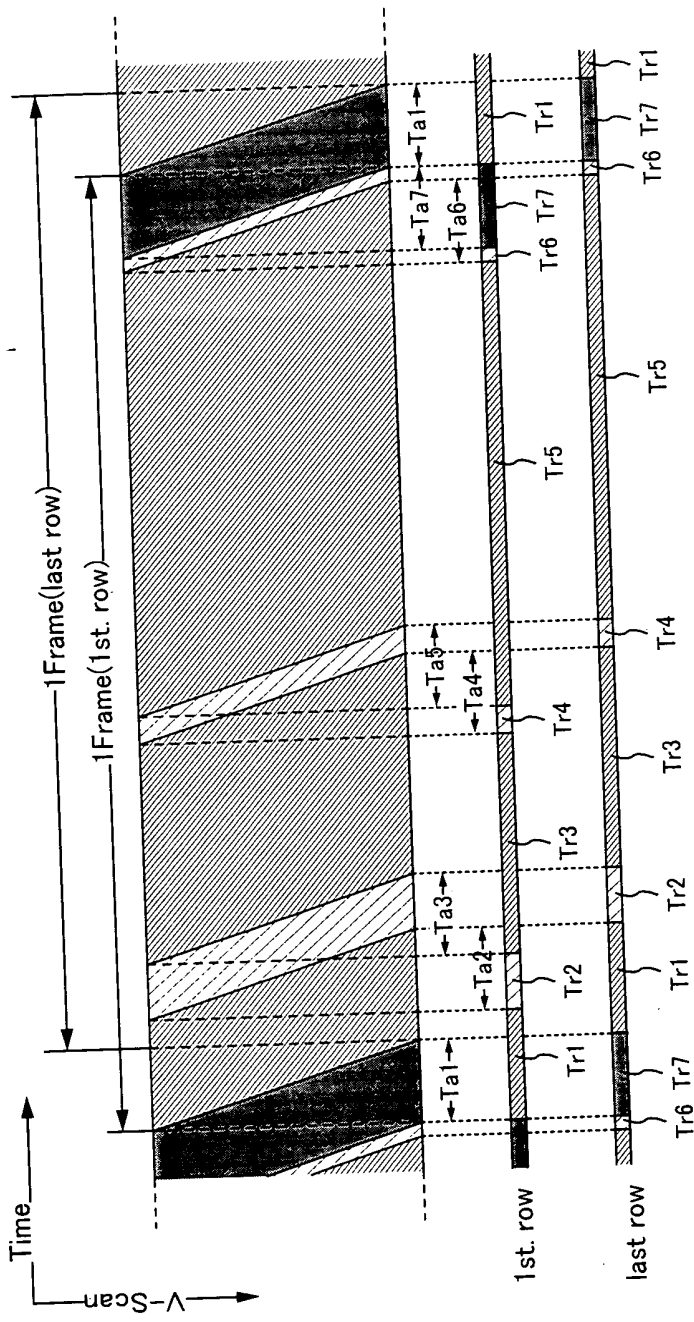


Fig. 14

65 10 50 50 50 50

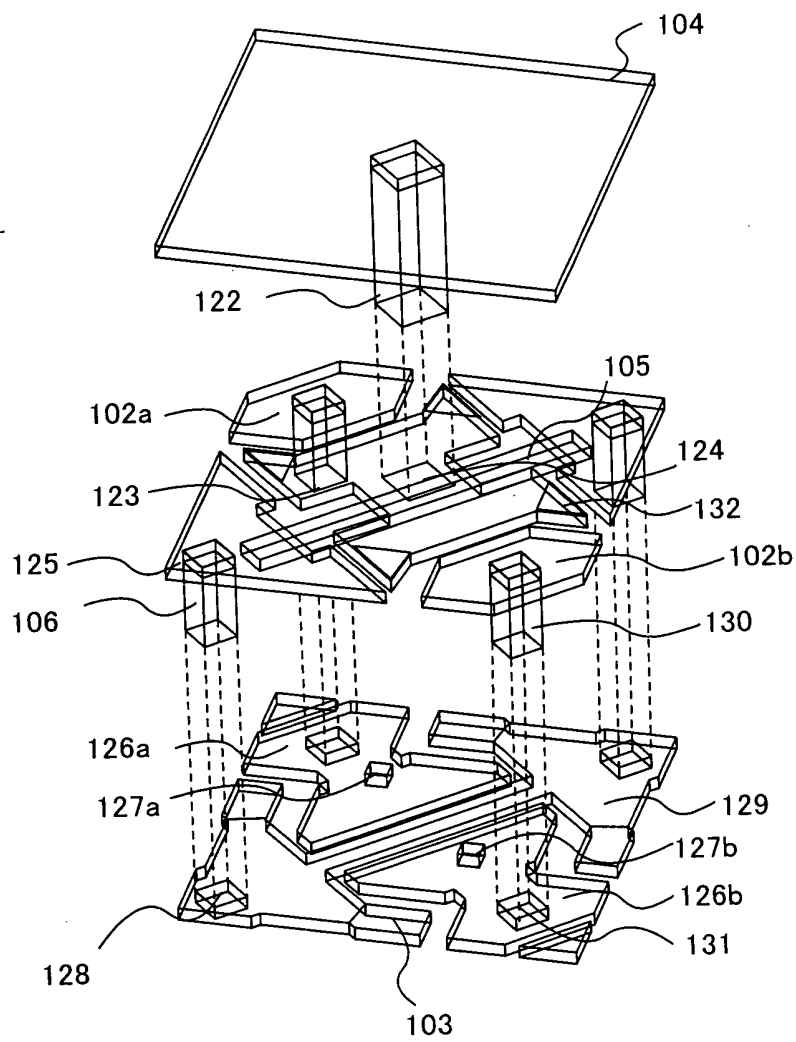


Fig. 15

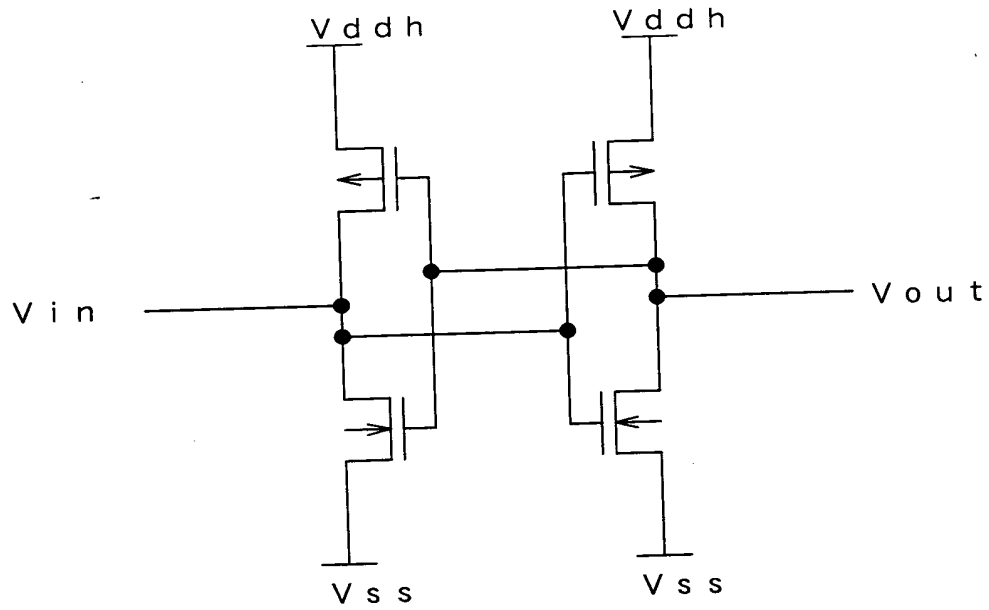


Fig. 16

Fig. 17A

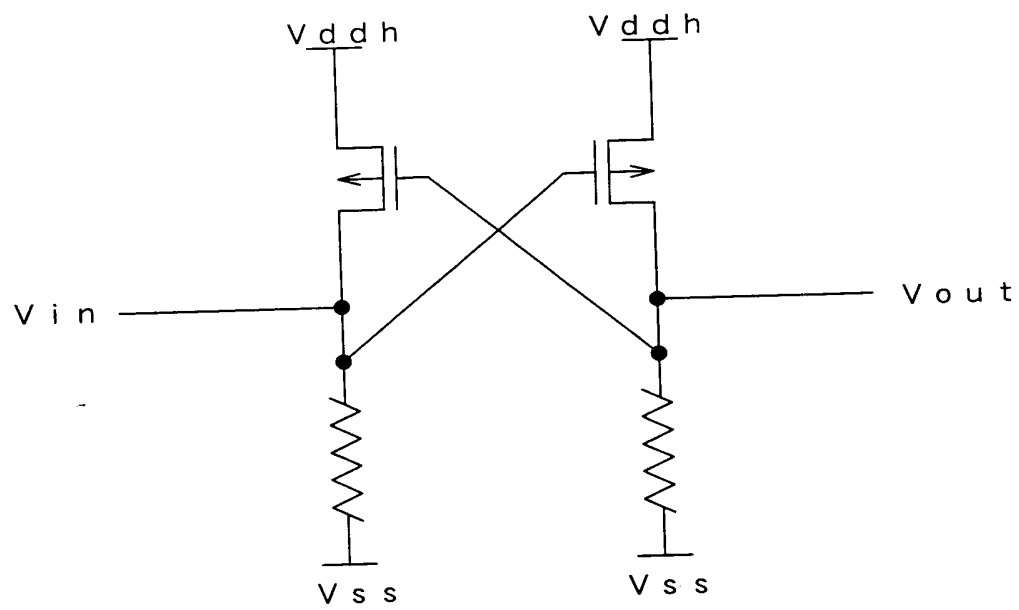


Fig. 17B

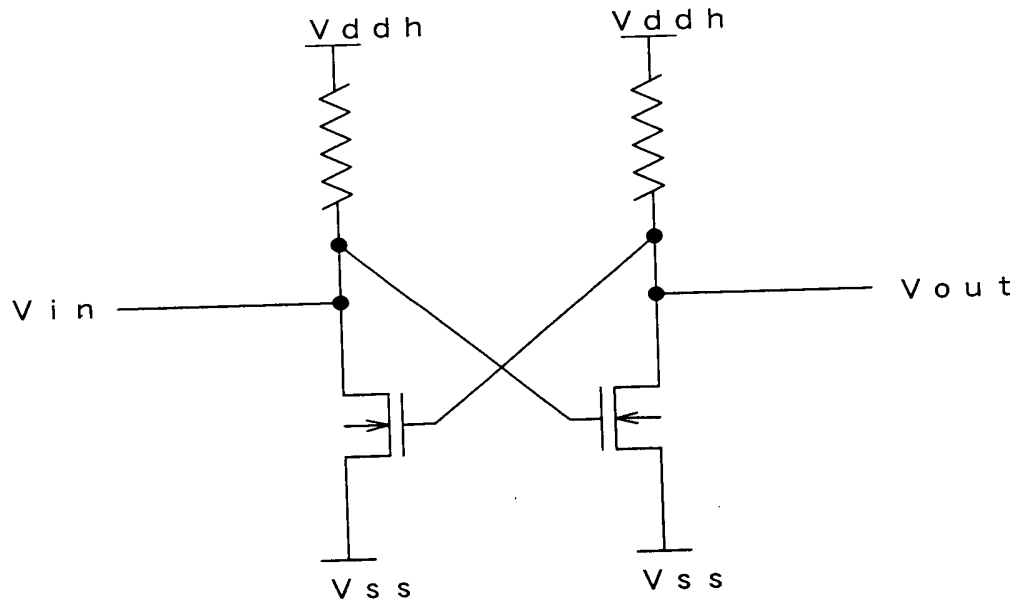


Fig. 18A

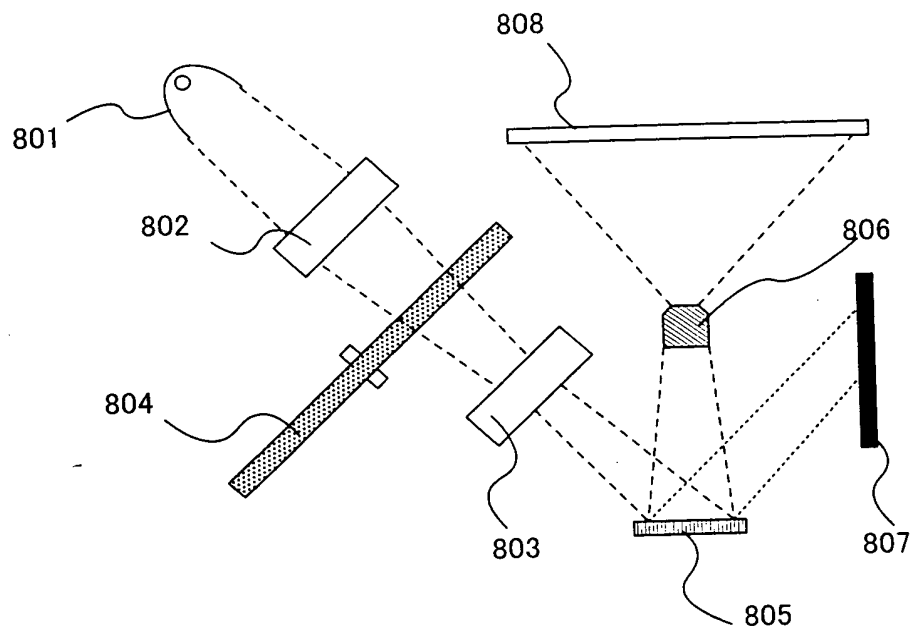


Fig. 18B

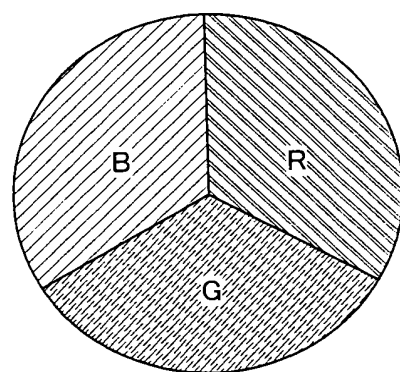


Fig. 18C

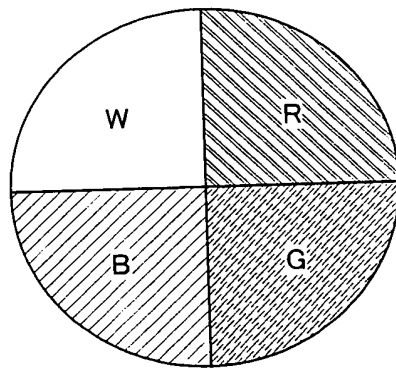


Fig. 19A

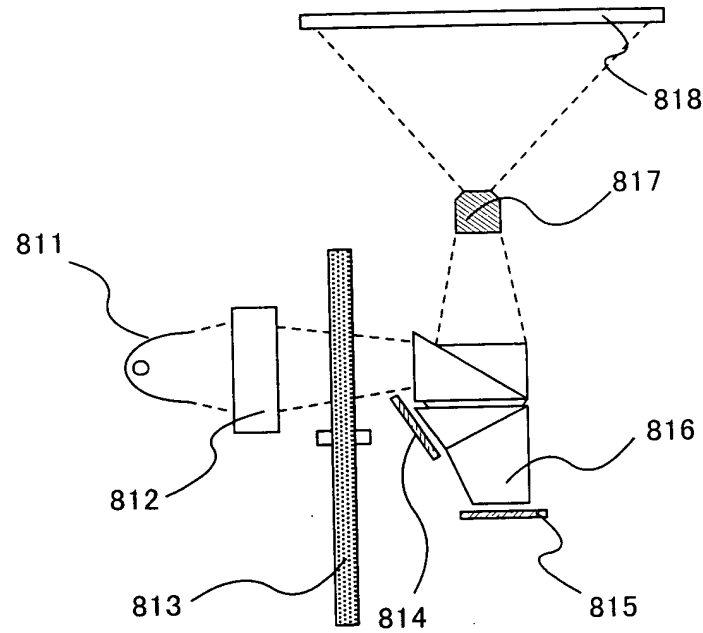


Fig. 19B

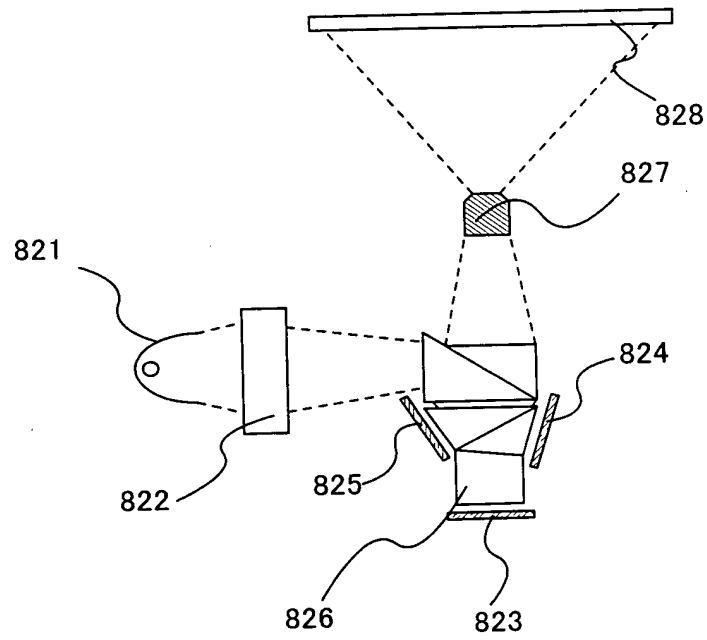


Fig. 20A

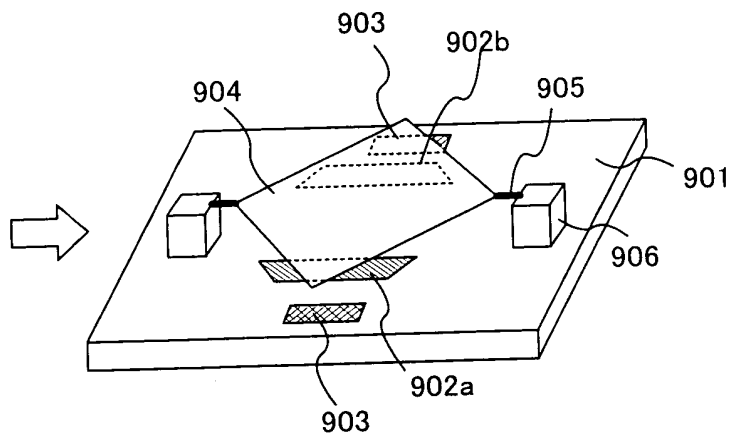
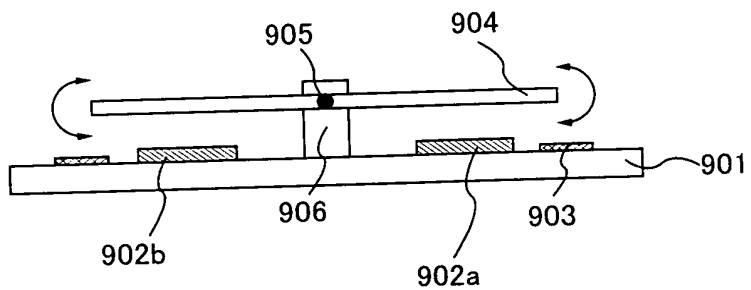


Fig. 20B



Prior ART

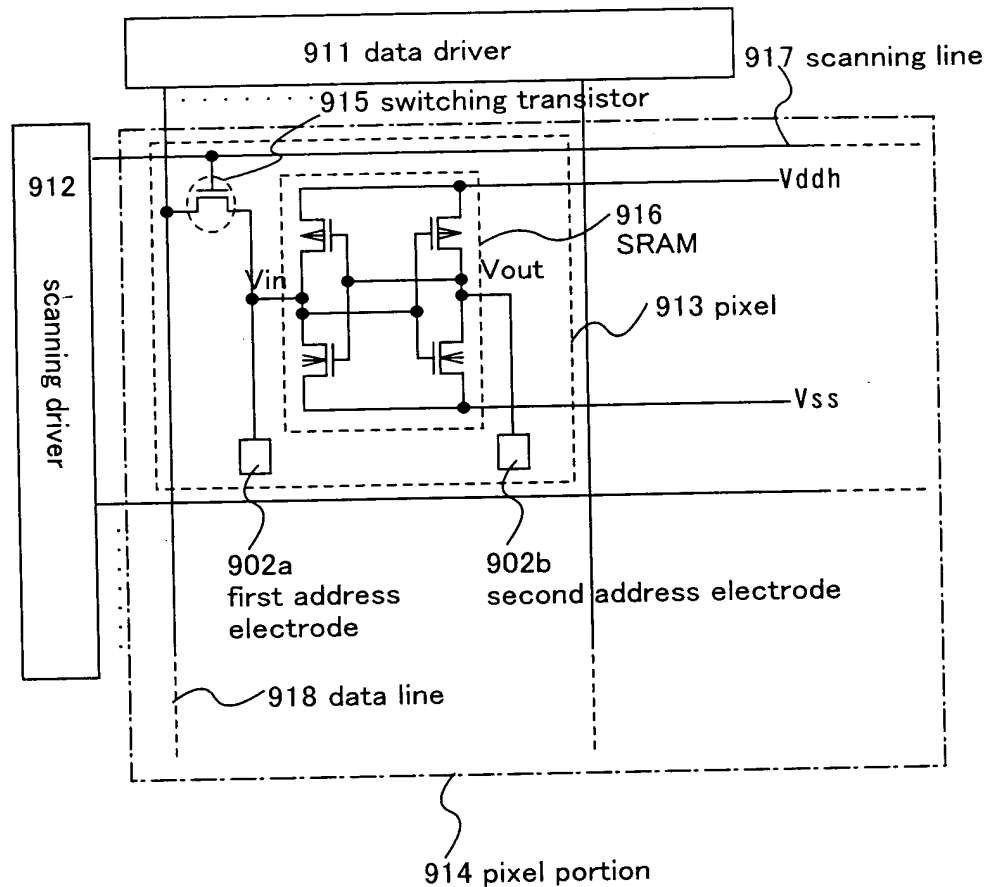


Fig. 21

Prior ART

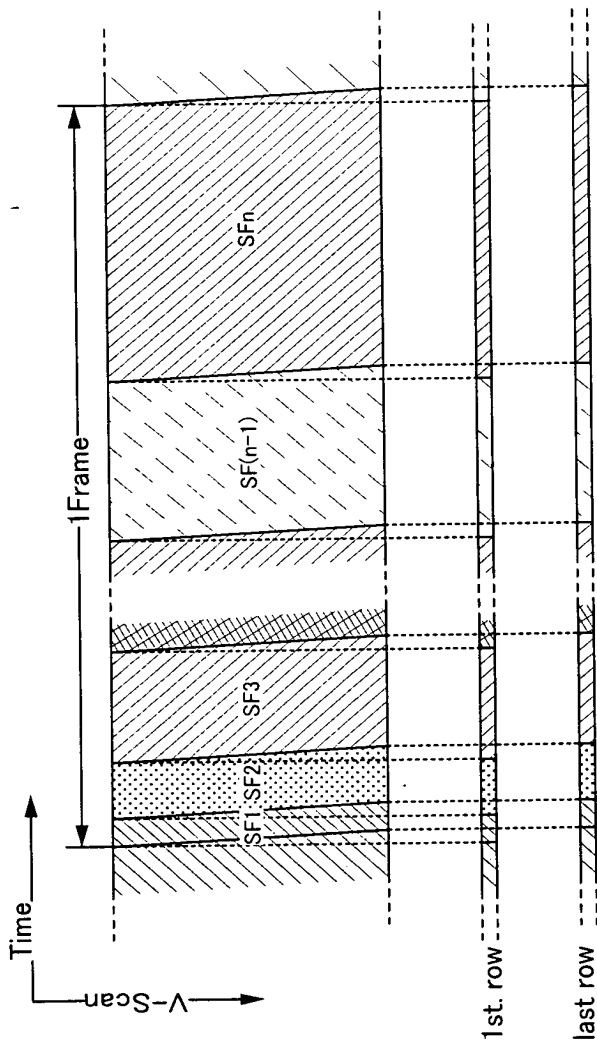


Fig. 22

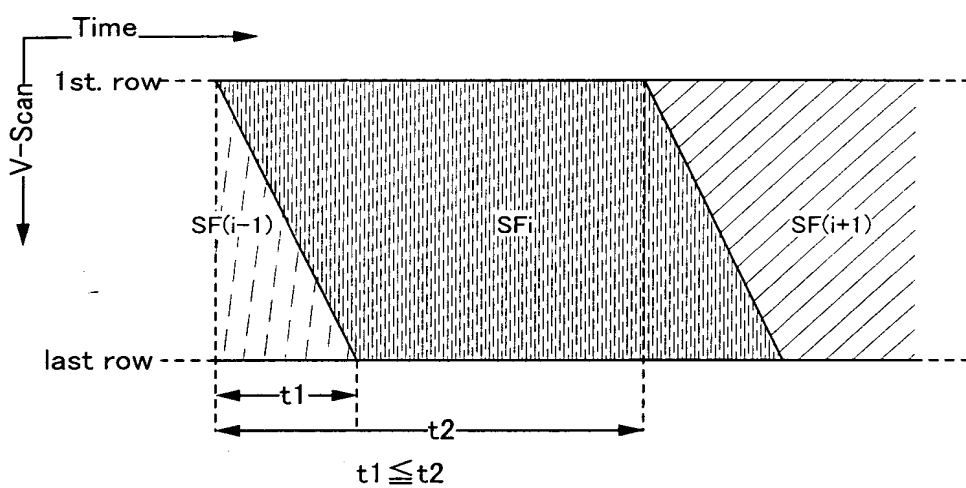


Fig. 23